

Определяя с помощью этих граничных условий коэффициенты  $A_1(p)$  и  $A_2(p)$ , мы таким образом определяем функции  $\varphi^+$  и  $\varphi^-$ , а следовательно, и функцию  $\varphi(p, x, t)$ . Подставляя найденное значение  $\varphi(p, x, t)$  в уравнение (1), получаем искомое уравнение для концентрации возбуждений при учете реабсорбции. Легко убедиться, что это уравнение имеет следующий вид:

$$\frac{\partial c(x, t)}{\partial t} = -\frac{c(x, t)}{\tau} + I(x, t) + \int_0^\infty \sigma(\nu) k(\nu) d\nu \int_0^d dx_1 c(x_1, t) \times \\ \times \left\{ E_1(k(\nu) |x - x_1|) + \int_1^\infty \frac{d\eta}{\eta} [e^{k(\nu)\eta d} - r(\nu, \eta) R(\nu, \eta) e^{-k(\nu)\eta d}]^{-1} \times \right. \\ \times [r(\nu, \eta) e^{k(\nu)\eta(d-x-x_1)} + R(\nu, \eta) e^{-k(\nu)\eta(d-x-x_1)} + \\ \left. + 2r(\nu, \eta) R(\nu, \eta) e^{-k(\nu)\eta d} \operatorname{ch} k(\nu) \eta (x - x_1)] \right\}, \quad (4)$$

$$\text{где } \rho(\theta) = \frac{p^2 F(p)}{(2\pi)^2} \frac{dp}{d\nu}, \quad E_1(k) = \int_1^\infty \frac{d\eta}{\eta} e^{-k\eta}.$$

При  $d \rightarrow \infty$  уравнение (4) переходит в уравнение, найденное в [2]. При конечных значениях  $d$ , но  $r(\nu, \eta) = R(\nu, \eta)$ , уравнение (4) переходит в уравнение, полученное Конобеевым [3].

Если речь идет об учете реабсорбции в области экситонных полос поглощения, в правую часть уравнения (4) следует добавить слагаемое  $D d^2 c / dx^2$ , отвечающее учету миграции экситонов в диффузационном приближении.

При достаточно низких температурах следует учесть также поляритонные эффекты. В этом случае необходимо иметь граничные условия более общего вида, чем те, которые были использованы выше. Эти граничные условия приводят на границе кристалла к возможности переброса поляритонов с одной ветви спектра на другую. Как было показано в [4], это обстоятельство ведет в уравнении (4) к появлению дополнительных источников реабсорбции.

#### Литература

- [1] В. М. Агранович, М. Д. Галанин. Перенос энергии электронного возбуждения в конденсированных средах. «Наука», М., 1978.
- [2] В. М. Агранович, Ю. В. Конобеев. Опт. и спектр., 11, 369, 1961.
- [3] В. И. Доронина, Ю. В. Конобеев, Ш. Д. Хан-Магометова. Опт. и спектр., 28, 811, 1970.
- [4] В. М. Агранович, С. А. Дармаян, В. И. Рупасов. ЖЭТФ, 78, 656, 1980.

Поступило в Редакцию 7 мая 1980 г.

УДК 621.373 : 535

## ИССЛЕДОВАНИЕ СТАБИЛЬНОСТИ ЧАСТОТЫ КОЛЬЦЕВОГО $\text{He}-\text{Ne}/\text{CH}_4$ ЛАЗЕРА

А. Н. Николаенко

В последнее время увеличился интерес к использованию кольцевых газовых лазеров (КГЛ) для увеличения точности измерения временных и пространственных интервалов. В связи с этим возрастает практическая ценность результатов изучения режимов генерации и резонансов мощности КГЛ с метановой ячейкой. Рассмотрим результаты исследований стабиль-

ности частоты излучения КГЛ (СТ), стабилизированного по  $\text{CH}_4$ -резонансу в зависимости от давления  $\text{CH}_4$  ( $P_-$ ).

Измерения СТ проводились на установке, которая состояла из трех частей: оптической, электронной и системы регулировки давления активной и пассивной сред. Оптическая часть установки включала в себя два кольцевых лазера, лазер-гетеродин, четыре приемника излучения, юстировочные лазеры, оптические развязки, поворотные зеркала. Резонатор каждого из кольцевых лазеров был образован четырьмя зеркалами с радиусом кривизны 6 м и коэффициентами отражения ( $N$ ) 98 и 90%. Два зеркала с  $N \approx 98\%$  крепились на трубчатых пьезокерамиках типа ЦТС-19, которые использовались для регулировки длины резонатора лазера. За одним из зеркал с  $N \approx 98\%$  располагалось закрепленное на пьезокерамике глухое зеркало, которое отражало часть излучения сильной волны в резонатор. Регулировка величины обратного отражения осуществлялась поляризатором, подстройка по фазе — подачей напряжения на пьезокерамику.

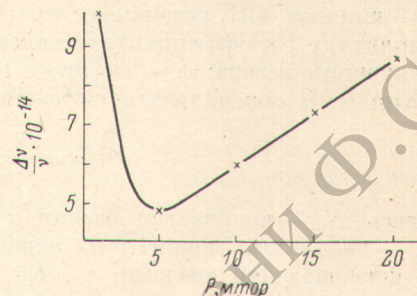
Резонатор лазера-гетеродина длиной 70 см был образован двумя зеркалами с  $N_1 \approx 90\%$  и  $N_2 \approx 99\%$ , которые крепились на пьезокерамиках.

Электронная часть установки состояла из блоков автоматического регулирования частоты излучения кольцевых лазеров и лазера-гетеродина, усилителей, блоков питания лазеров, стабилизаторов напряжения сети и т. д. Для стабилизации частоты кольцевых лазеров применялись системы автоматической подстройки частоты (АПЧ), представляющие собой экстремальные регуляторы, работающие по принципу модулирующего воздействия с синхронным детектированием. Детально устройство систем АПЧ, которые использовались в настоящей работе, описано в [1]. Частота лазера-гетеродина отстраивалась на 1 МГц от центра линии поглощения с помощью системы автоподстройки (АПЧ гетеродина). Величина расстройки выбиралась из тех соображений, чтобы исключить взаимное влияние кольцевых лазеров и лазера-гетеродина. Описание устройства системы АПЧ гетеродинами, которая применялась в наших исследованиях, достаточно полно приведено в [2].

Два приемника излучения использовались для стабилизации частоты кольцевых лазеров, два других измеряли разностную частоту кольцевых лазеров и лазера-гетеродина. Разностные частоты измерялись с помощью частотомеров, которые запускались на время измерения синхронно. По разности их показаний определялись частотные характеристики.

Исследования, изложенные в [3], позволили оптимизировать параметры  $\text{CH}_4$ -резонанса, который имел при давлении метана  $\sim 6$  мтор ширину  $\sim 50$  кГц и амплитуду  $\sim 20\%$  от полной мощности. Вершины резонансов, возникающих на центрах линий усиления [4, 5] и поглощения, были совмещены, ток накачки поддерживался равным  $\sim 5$  мА.

На рисунке приведен график зависимости СТ от  $P_-$ . По осям отложено давление метана в миллитрах и СТ, измеренная при времени усреднения ( $t$ ) 10 с. Время измерения каждого значения СТ, представленного на графике, 30 мин. Методика измерений СТ заключалась в следующем. Обе ячейки кольцевых лазеров одновременно заполнялись метаном при одном и том же давлении  $\text{CH}_4$ . Полученные значения разностной частоты вводились в ЭВМ, с помощью которой проводилась обработка полученных экспериментальных результатов. Измерение давления метана проводилось одновременно в обеих ячейках. Из рисунка следует, что лучшая СТ ( $\sim 4.8 \cdot 10^{-14}$ ) достигается при  $P_- \sim 6$  мтор. Увеличение и уменьшение  $P_-$  приводят к ухудшению СТ. Таким образом, при стабилизации частоты



кольцевого He—Ne/CH<sub>4</sub> лазера необходимо работать при давлении метана  $\sim 6$  мтор.

Для сравнения теоретических и экспериментальных результатов воспользуемся выражениями (1) и (2) из [6]. Полагая  $\gamma_+ \Gamma_+ / (Ku)_+^2 \gg \gamma_- \Gamma_- / (Ku)_-^2$ ,  $\mu \ll 1$ ,  $\omega_- = \omega_+$ , получаем

$$\hat{\gamma} = 2 \frac{\gamma_-}{\mu} \frac{\Gamma_+}{(Ku)_+^2}, \quad (1)$$

$$a = \frac{m^2}{I \omega^2 d^2} \mu \left[ 1 + \frac{\gamma_- \Gamma_-}{(Ku)_-^2} \right] \left[ \frac{\gamma_+ \Gamma_+}{(Ku)_+^2} \right]^{-3}. \quad (2)$$

В свою очередь

$$\Delta v/v = \hat{\gamma} w/a \sqrt{\tau} [7]. \quad (3)$$

Здесь  $w$  — параметр, характеризующий шумы стабилизируемого лазера;  $\hat{\gamma}$  — ширина CH<sub>4</sub>-резонанса,  $a$  — амплитуда. Коэффициент  $m$  определяет амплитуду коэффициентов связи встречных волн;  $I$  — интенсивность излучения лазера;  $\omega$  — частота его генерации;  $d$  — уровень накачки. Коэффициент  $\mu$  определяется выражением

$$\mu = \frac{N_- L_-}{N_+ L_+} \left( \frac{d_-}{d_+} \right)^4 \frac{\gamma_+ \Gamma_+}{\gamma_- \Gamma_-}. \quad (4)$$

Здесь  $N_{\pm}$  — количество частиц в усиливающей и поглощающей ячейках;  $d_{\pm}$  — дипольные моменты их переходов;  $L_{\pm}$  — длины кювет с усиливающей и поглощающей средами;  $\gamma_{\pm}$ ,  $Ku_{\pm}$  — однородная и допплеровская ширины;  $\Gamma_{\pm}$  — полусуммы скоростей релаксации верхнего и нижнего уровней линии усиления и поглощения.

Таким образом,  $\Delta v/v$  с учетом (1) и (2) определяется выражением

$$\Delta v/v = 2 \frac{\gamma_-}{\mu^2} \left[ 1 + \frac{\gamma_- \Gamma_-}{(Ku)_-^2} \right]^{-1} \left[ \frac{\gamma_+ \Gamma_+}{(Ku)_+^2} \right] \frac{I \omega^2 d^2}{m^2} \frac{w}{\sqrt{\tau}}. \quad (5)$$

Теоретически зависимость  $\Delta v/v$  от  $P_-$  может быть объяснена с помощью работ [8, 9], где детально рассмотрено поведение  $\mu$  в зависимости от давления метана. Там показано, что при достаточно малых давлениях CH<sub>4</sub> (менее 5—6 мтор), однородная ширина линии определяется временем пролета и не зависит от давления газа в поглощающей ячейке. В этом случае параметр  $\mu$  пропорционален  $N_-$ , т. е. увеличивается с ростом  $P_-$ . В области давлений  $P_- > 6$  мтор  $\gamma_- \sim P_-$ , а  $\mu \sim 1/N_-$ . Таким образом, при малых давлениях метана  $\Delta v/v$  уменьшается, так как  $\mu \sim N_-$ , а при больших возрастает, так как в этом случае  $\mu \sim 1/N_-$ ,  $\gamma_- \sim P_-$ .

#### Литература

- [1] М. И. Вольнов, Д. А. Тюриков. Препринт ФИАН СССР, № 58, 1980.
- [2] В. Б. Вергунов, М. И. Вольнов, Д. А. Тюриков. ПТЭ, № 3, 197, 1978.
- [3] Э. М. Беленов, М. И. Вольнов, М. А. Губин. Препринт ФИАН СССР, № 1, 1979.
- [4] В. А. Алексеев, Н. Г. Басов, Э. М. Беленов. Квант. электрон., 1, 1089, 1974.
- [5] И. А. Андронова, И. Л. Бернштейн, Н. А. Маркелов. Квант. электрон., 1, 645, 1974.
- [6] А. Н. Николаенко. УФЖ, 24, 1694, 1979.
- [7] М. Р. Капланов, В. А. Левин. Автоматическая подстройка частоты. Госэнергоиздат, М.—Л., 1956.
- [8] В. А. Алексеев, Л. П. Яценко. Тр. ФИАН, 91, 147, 1976.
- [9] В. А. Алексеев, Л. П. Яценко. Квант. электрон., 3, 2407, 1976.

Поступило в Редакцию 13 мая 1980 г.